

I-89 2-主桁橋の桁間隔と床版応力分布との
相関に関する実験的研究

— 第5報 —

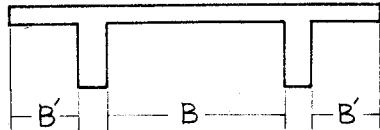
日本大学理学部 正員 若下藤紀

§ 1. まえがき

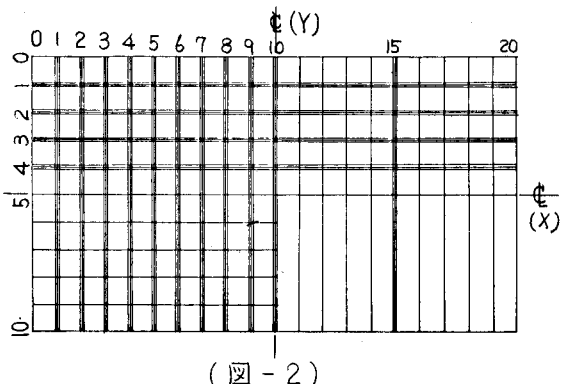
本研究は、過去数年にわたり継続して来た“2-主桁橋の床版応力分布に関する研究”的一部であり、特に昭和47年度に、土木学会年次学術講演会等に、報告表した変断面床版を有する主桁橋の床版応力分布の性状が、きめめて良好であることが、剛性の大きさの床版においては、荷重分配横桁は、むしろ応力の流れを乱し、応力集中を生じさせている原因ともなっていることが、判明した。更に、昭和48年度よりTT-43荷重考慮も設計時に採り入れられ、今後は、ますます床版の剛性の大きい場合の応力の流れを正確に把握することが要求されて来ている。そこで、今回は、2-主桁橋の主桁間隔と、床版応力、及び荷重分配横桁の有無による応力の流れの変化について、実験的に追跡してみた結果の一部について報告する。

§ 2. 実験概要

本実験は、アラレタイト系樹脂により橋梁モデルを作成し、特に床版部に生じる応力の流れを追跡する目的で、光弾性実験を採用した。荷重は、恒温電気炉内にありて載荷し、応力を凍結を行ない、そこに生じた応力の流れを解析することとする。今回ここに報告する範囲は、図-1における主桁間隔Bを変化させ、更に、荷重分配横桁のある場合と、それを取はずした場合との二種に對して載荷実験した結果とする。又、床版応力解析断面等については、図-2に示すように、橋軸方向を20等分し、橋軸直角方向を10等分し、その交点を解析点とし、それより橋軸方向及び、橋軸直角方向における主応力を、Y-1断面～Y-5断面、X-1断面～X-15断面に關して解析した結果を次に示す。尚、この場合の荷重載荷位置は、図-2に示すように、橋軸方向1/2、橋軸直角方向1/2である。又、図-1の主桁間隔Bの変化に対しても、表-1に示すようにB'は一定とし、Bの△を変化により組み合せを設定して実験を行った。同表中のTYPE NO. I～IVは、H. Homberg氏が、Double Webbed-Slabsの問題として報告されたものであり、これは、B, B'共に変化させて取り扱っている。



(図-1)



(図-2)

TYPE NO.	H. Homberg	F. Wakashita	適要
I	I : 0.3		
II	I : 0.4		
III	I : 0.6		
IV	I : 1		
*		I : 0.520	
*		I : 0.432	
*		I : 0.370	
11(32)		I : 0.326	△(▲)
12(21)		I : 0.288	□(■)
7(31)		I : 0.259	○(●)

(表-1)

§ 3. 版に作用する応力の検討

従来、2-主桁橋の応力分布に関するものは、Bieger氏、Bechert氏、Kármán氏等の理論がある。一般に、DIN-1072に基く、スパン上の集中荷重、あるいは線荷重は、適当な近似法により、スパン中央に等しい挾みを生じさせ、等分布代用荷重と、橋軸方向上満載荷重に置き換えることが出来る。又、△上に基く代用荷重は、

$$P_{Ers} = \frac{8}{5} \left\{ 1 + 3(1 + \xi) - (1 - 2\xi)^2 \right\} \frac{P}{L} \quad \dots \dots (1)$$

$$\bar{P}_{Ers} = \frac{1}{5} \left\{ 6(1 + 4\xi)^2 - (1 - 4\xi)^4 \right\} P \quad \dots \dots (2)$$

但し、(1)式は重車輪荷重による輪荷重、載荷状態を、(2)式は等分布荷重による輪荷重の状態を示している。

従て、△スパン上の荷重から、荷重分配床版の、曲げモーメントを求めると、主桁の振り剛性が、極めて小さい時には、荷重分配床版が、

主桁にヒンジ結合されたこと考へた場合の版理論により求められる値として、(3)式は大きめの値を与える。

$$M_{(0)} = M_{(0)}^E + \alpha \sum P_{Ers} \bar{k}_m + \alpha \int \bar{P}_{Ers} \bar{k}_m dy \quad \dots \dots (3)$$

$$M_{(\bar{a})} = M_{(\bar{a})}^E + \alpha \sum P_{Ers} \bar{y}_m + \alpha \int \bar{P}_{Ers} \bar{y}_m dy \quad \dots \dots (4)$$

更に、主桁の断面力を考へてみると、輪荷重、即ち集中荷重による主桁の最大曲げモーメントの計算は、前述同様、近似的に求められる。ここで、DIN-1072に基く、集中荷重(重車輪荷重)による主桁の最大曲げモーメントは、

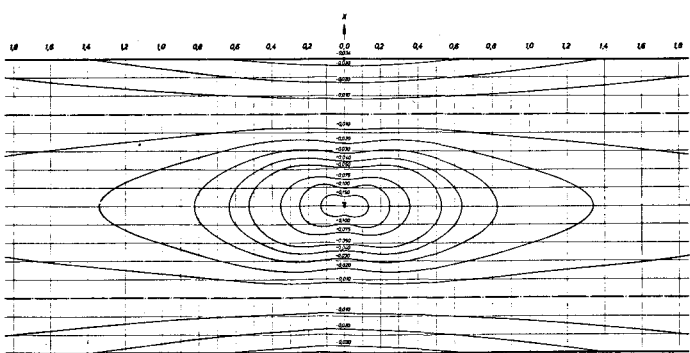
$$M = \frac{3}{4} L \cdot \left(1 - \frac{4}{3} \xi \right) \sum P \cdot k_m + \frac{L^2}{8} (1 - 4\xi)^2 \int P_{(y)} k_m dy$$

$$= \frac{3}{4} L \cdot X_p \sum P \cdot k_m + \frac{L^2}{8} X_p \int P_{(y)} k_m dy \quad \dots \dots (5)$$

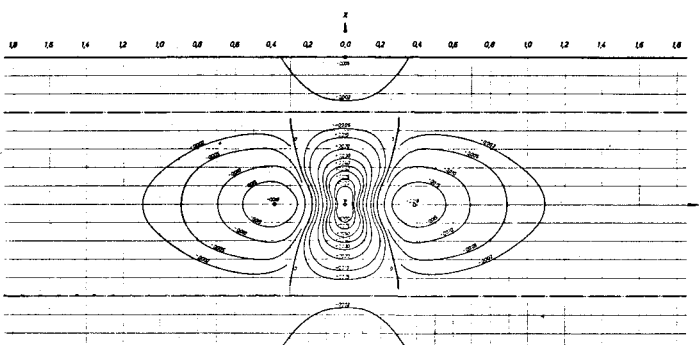
で与えられ、又、剪断力(最大)は、

$$Q = g_E \cdot 3 \xi L \left(1 - \frac{3}{2} \xi \right) = g_E \cdot 3 \xi L \cdot X_a \quad \dots \dots (6)$$

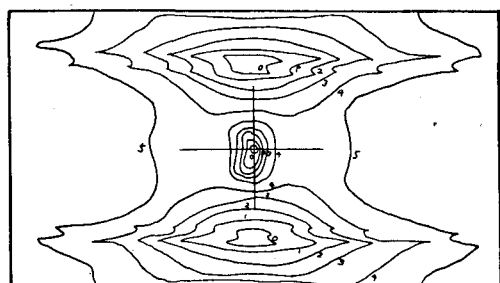
で与えられる。即ち、この場合、モーメントは、重車輪荷重に対して有利に生じるが、純荷重に対しては、不利に生じているようである。



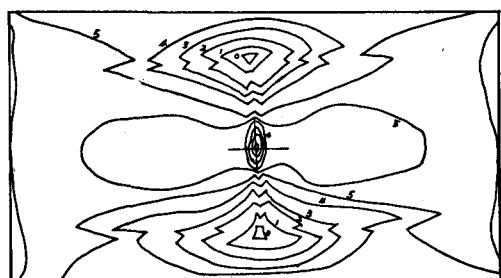
(図-3)



(図-4)



(図-5)



(図-6)

§ 4. 実験結果

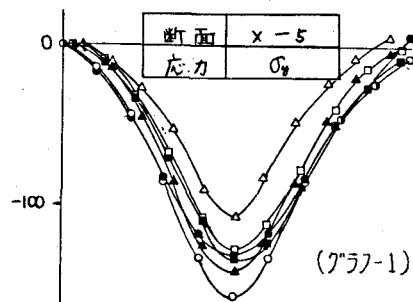
今回ここで報告する範囲は、図-1における主桁間隔Bを、表-1に示したように、順次20%増して実験したうちの、11号橋(+60%)、12号橋(+80%)、17号橋(+100%)の場合である。

更に同表中の()内のTYPE NO.は、上記条件に、荷重分配中間横桁を、取りつけた場合である。尚、同表中※印の付いてあるものは、(+0%)、(+20%)、(+40%)の場合であり、過去に別途報告があるるので、ここでは省略する。解析結果は各グラフに表示したが、プロットした記号は、表-1中の適要欄に記したものであり、白抜きのマークは、荷重分配中間横桁のない場合であり、黒マークは、同上中間横桁を取りつけた場合を示している。ここで注目すべきことは、グラフ-2,3にありて、11号橋及び、12号橋の応力性状が、32号橋及び、21号橋におけるそれよりも、非常に滑らかであり、応力の伝達勾配にありても、明確に表されている点である。この現象は、グラフ-1にありても表められておりとから、ここでは特に、12号橋と21号橋を取り出して考察してみることにした。又、図-3,4は、H.Homberg氏が、Double Webbed Slabsの問題として、TYPE NO. Iの場合の床版部における応力の流れの性状を、X方向、Y方向について示したものであり、荷重は、図-2の場合と同様である。更に、図-5,6は、12号橋、21号橋の光弾性実験における等色線を示しており、図中の数字は、フリップ・オーダーを示している。又、グラフ-4は、同上2種モデルにおける、主桁部分の応力の流れの状況を示している。断面は、図-2にあり36断面をZ-6としている。

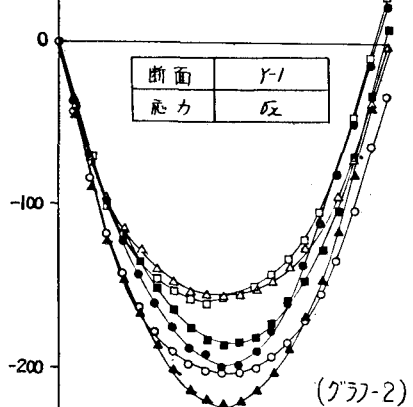
§ 5. 考察

以上の結果より、剛性の大きい床版に、集中荷重を作用させた場合は、荷重分配中間横桁をとりはずした場合の、応力の流れの方が滑らかであることが判明し、更に、応力の伝達勾配においても、両軸方向に、同様の現象が表われているようである。しかししながら、荷重が近くにある場合は、荷重分配横桁の存在すら無視出来ないことを表わしており、この点については、Bieger氏の理論とも一致しているようである。更に、グラフ-4にありと、このことは、荷重分配横桁の存在により、桁部、応力の流れの勾配を滑らかにしていることを裏付けているか、反面、中立軸、移動か、大きく、床版に対する負荷の大きさ

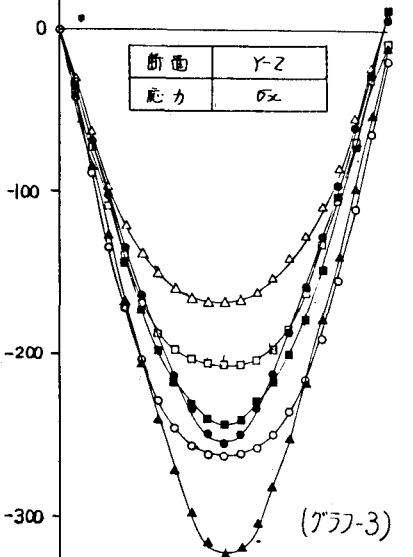
のことを示していると言えるであろう。最近特に、Z-1主桁版橋として、大桁間隔構造をみると、更に本研究を継続し、桁間隔と、床版応力の分布性状を調べてみたい。



(グラフ-1)



(グラフ-2)



(グラフ-3)

